

日本電信電話公社 正員 伊藤和五郎

西野 博

久保田 錢工太
山崎 太郎

七 无 隆 翻

電気公社では、ヤーダル保護管と1/2金属管(銅管・錫鉄管)が広く使用工材であります。プラスチック技術の進歩と共に、その多くの水化學的、物理的特性も著しく、これまでの金属管に対する各種の1/2硬質ビニル管を取上げ、昭和30年より一連の基礎調査を実施し、更に埋設実験を実施した結果、強度、耐用性実用大模様などと判明しました。ニニにその大要を述べる。

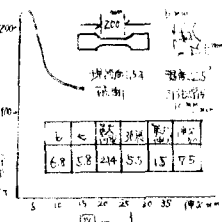
(1) 硬质 $C = \pi$ 管的物理的特性

ビニル管の物理的諸特性は表1表2示すとおりであるが、その組成からいわゆる高分子物質であるため極めて特徴的な性質を示す。

- (4) 耐化学薬品性が非常にすぐれて、薬食など強度低下されない。

- (b) 電気絶縁性がすぐれていい。
(c) 軽量である。
(d) 直角衝撃に弱い。
(e) 湿度依存性が顕著である。
(f) 熱膨張係数が大きい。

项目	单位	数值	项目	单位	数值
比重		1.43	体脂肪测定值	2.2%	10.5-22.2
破断伸	% ^o	20% ^o -150	耐寒度	Y/m	4000-1500
引张强度	% ^o	20%-330	耐化性	g	>18
弹性系数	% ^o	3-10.14	湿润	mm	32-50
触觉系数		83-87	耐盐性	mm	20-18
压缩强度	% ^o	10-15	耐碱性	mm	2.5
吸湿速率	%	100-115			
扩散系数		0.4-0.7			
散热量	W/m ² ·K ^o	1.1-1.3			



(3) 偏平強度

模試管の場合、銅鉛管、石綿管のようく明確な被覆状態がみられ、荷重の増加に従い、其偏平量が増すだけである。75瓶管(外径8.9mm内厚8.0mm)は

3種の荷重と偏平量との関係は第2圖のとおりである。

4) 繼返し応力による疲労

供試管の繰返し応力を調査するためビニル管と同質のビニル板試験片へ種々の平面的引張応力を与え試験片の破断までの繰返し回数と並との関係を調べた結果次の図に示す関係曲線が得られた。このときと 10^6 回まで直線關係を示し 10^6 回を越すと直線は漸軽的に平行となり、並びに 3.12×10^6 の場合 1.5×10^7 回からても破断しない。

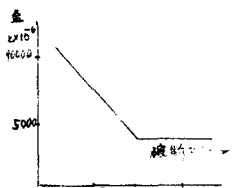


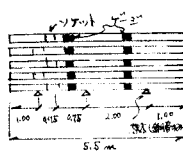
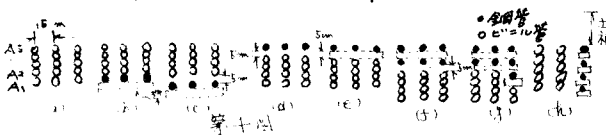
图-3

(5) 振動

供試管は金属管と重なり重量が軽いことと弹性係数が小さいことより金属管と比較して振動モードが異なる。一般に橋梁に添架した場合の管の固有振動数は $\frac{(3.14)^2}{2\pi^2} \sqrt{\frac{IE^3}{RA^2}} \leq f \leq \frac{(4.93)^2}{2\pi^2} \sqrt{\frac{IE^3}{RA^2}}$ で表わせる。
この右辺は両端固定、左辺は両端支持の固有振動数を示す。
従って実際には中間の値をとることになるはずで実測結果はほぼ中間値となる。即ちトラス橋で $10 \sim 30 \text{ c/s/sec}$ ガタ一橋で $20 \sim 40 \text{ c/s/sec}$ であり管が実験ばかりではなく l の長さを $l < 1 \text{ m}$ $l > 2 \text{ m}$ とする必要がある。 $l \ll 1 \text{ m}$ の場合は $f < 1 \text{ c/s}$ である必要がある。 $l \gg 1 \text{ m}$ の場合は実際問題困難であり、管の蛇行も考慮して l は $2 \sim 3 \text{ m}$ が最も望ましい。

(6) 供試管の埋設実験

供試管を第十九圖に示すような方法で埋設し量と後の管までの土被りを 60 cm と 120 cm とわけ埋設し土と砂質土と粘土とくわめて重車両T-20の通過時ににおける各種別別の管に生ずる重量の測定と、又重車両の通過前後等による静荷重を測定した結果、下記事項が判明した。今回の実験に使用した供試管は前章基礎実験結果より内径 83 mm 外径 $96.0 \pm 0.6 \text{ mm}$ 肉厚 $6.5 \pm 0.5 \text{ mm}$ とし罐子部は小さくらましによる罐子ではなく、カーラー方式を採用した。又内直角は重合度 1.05 ± 0.05 罐子 800 ± 50 とし、比重 $1.14 \sim 1.15$ 罐子とも可塑剤を含まないものとした。



(i) 車両通過時に生ずる動歪は円周方向が管軸方向歪より大きい。

(ii) 埋設し地盤の砂と粘土との場合では動静歪よりも粘土で埋設した場合の方が発生歪は大きい。第5圖に示すように古河での工法について有意性は認められた。

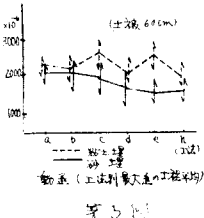
(iii) 埋設深度につれては深くなるほど地盤の密着歪は小さくなり、土被り 60 cm と 120 cm では最大歪で 30° となる。

(iv) 埋設し土による静歪は第6圖に示すように中间部の最大値が生ずる。このことは理論的にモンゼン、フリューリングの公式においてはまではうな。

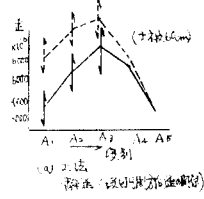
(v) 従ってビニル管のようないくつかの可塑性のある管に対しては埋設し時の軸圧による影響が大きい。

(vi) 以上の結果から静動歪を加えた工程別最大歪の工程平均地盤歪を算出して、供試管の偏平量が立柱以下 2λ を条件とした場合の許容歪量は円周方向歪で $8000 \sim 8500 \times 10^{-6}$ である。従ってこれらの結果から地盤軟弱 (N 値 < 2 以下)、土被り 60 cm の場合でも埋設し土を砂質土とすれば管の配列が最も、最も下段の鋼管を数えこむことで $8200 \sim 8300 \times 10^{-6}$ であり、許容歪量以下となる。しかし粘性土を埋設し土にした場合は地盤良好の場合でも歪は $2000 \sim 2300 \times 10^{-6}$ 程度の増加となり好ましくない。ビニール管の使用は数 100×10^{-6} 程度の歪量であり問題はない。

以上の結果より地下埋設管と多くのビニル管はその特質、施工工法を明確化し、实用化された。



第 3 図



第 4 図